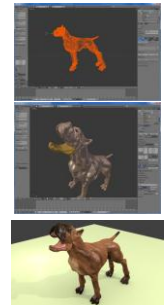


知的コミュニティ基盤研究センター研究談話会
物理モデルとGPUを用いた
リアルタイムCGアプリケーションの開発

図書館情報メディア研究科
情報メディア創成学類
助教 藤澤 誠

2011-10/13

基本的な3DCG生成の流れ



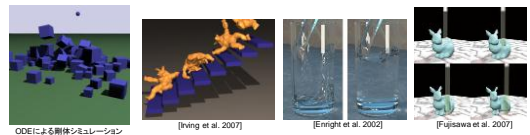
物理法則に基づくコンピュータグラフィックス

- Physics based rendering
 - 光路のトレース
 - レイトレーシング, パストレーシング, フォトンマッピング法など
- Physics based simulation (animation)
 - 物体の動き
 - 剛体, 弾性体, 流体, 人体(骨と筋肉, 髪)など



物理シミュレーション

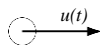
- 目に見える現象は物理法則に支配されている!
- 物理シミュレーション:物理学の法則に基づきさまざまな物質の挙動をコンピュータで計算する
 1. 支配方程式(ほとんどの場合, 非線形の常微分方程式(ODE))が存在
 2. ポリゴン, 粒子, グリッドなどで離散化
 3. 数値演算で各フレームの形状, 座標などを計算



物理シミュレーションの原理

□ 簡単な例

■ 支配方程式 $\frac{\partial x}{\partial t} = u(t)$



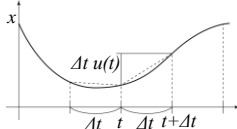
■ グリッドで離散化

微分 $\frac{dx}{dt} = \lim_{\Delta t \rightarrow 0} \frac{x(t + \Delta t) - x(t)}{\Delta t}$

差分 $\frac{dx}{dt} \approx \frac{x(t + \Delta t) - x(t)}{\Delta t}$

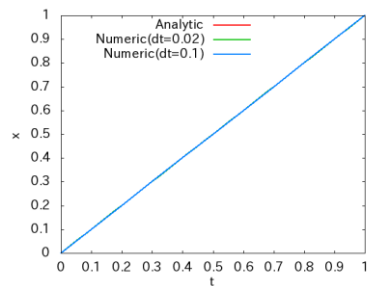
■ 次の Δt

$x(t + \Delta t) = x(t) + \Delta t u(t)$



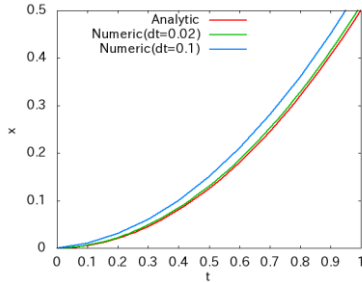
物理シミュレーションの原理

速度 $u(t) = a$ 解析解 $x(t) = at + x_0$
 数値解 $x(t + \Delta t) = x(t) + \Delta t u(t)$



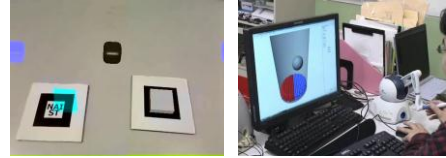
物理シミュレーションの原理

速度 $u(t) = at$ 解析解 $x(t) = \frac{1}{2}at^2 + x_0$
 数値解 $x(t + \Delta t) = x(t) + \Delta t u(t)$



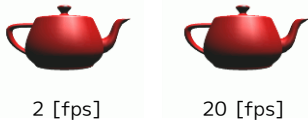
リアルタイムシミュレーション

- アニメーションの条件である30fpsを実現したシミュレーション
 - インタラクティブアプリケーション
 - AR, ハプティックティックデバイス



アニメーションの原理

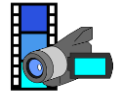
仮現運動：実際には動いていない物が動いているように見える現象



連続する1枚1枚の絵を少しずつ変化させる

アニメーションの原理

- 仮現運動
 - 時差をおいて異なる映像が提示されたときに動きを知覚する現象
→ パラパラ漫画
- ビデオ映像
 - コマ撮りされた画像を連続表示
 - 1秒間に表示する画像枚数(フレームレート)
: 24枚(映画), 25枚(PAL), 30枚(NTSC)
ビデオゲームなどでは60fps



リアルタイムシミュレーション

- アニメーションの条件である30fpsを実現したシミュレーション
 - インタラクティブアプリケーション
 - AR, ハプティックティックデバイス
- 物理シミュレーションをリアルタイムで実行する際の問題
 - タイムステップ幅：大きいほどよい(最大33ms)
 - 安定した手法は一般的に計算時間がかかる(陰解法など)
 - 安定性と計算時間のトレードオフ
 - 離散化の解像度：高いほどよい(ピクセル解像度)
 - 計算時間と見た目の美しさのトレードオフ

高速化

- 計算時間を短縮したい(主に数値計算)

取り扱う問題

ほとんどの問題は並列化可能
: 線形システム(疎行列), 近傍探索

要求

・リアルタイム計算
・PC上で実行できる

安価な並列計算機はないのか?

GPU

GPUとは

- GPU(Graphics Processing Unit)
 - グラフィックス処理(データ並列)に特化したプロセッサ
 - 一般のPCに搭載されている
 - 並列処理によるCPUを上回る高速演算が可能(コア数512, 約1.5TFLOPS)
 - 処理内容をプログラミング可能(シェーダ言語, NVIDIA CUDA)



13

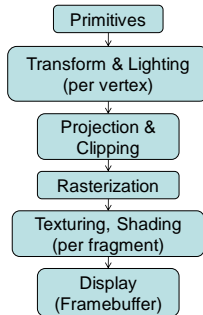
GPGPU

- GPUの構成 (NVIDIA Fermi)
 - SM(Streaming Multi-Processor) : 32個のSPL1/共有キャッシュ, テクスチャユニット, ジオメトリエンジン
 - GPC(Graphics Processing Cluster) : SM×4で構成されるミニGPU. FermiはGPC×4で構成される.
 - ROP(Rendering Output Pipeline)ユニットx8のパーティション×6で48ROP. (ピクセルシェーダからの出力をビデオメモリに書き込む)
 - メモリバス帯域幅は177.4GB/s (GDDR5, 384bit)



Programmable Shader

- GPUの歴史
 - 1980s - 最初の3Dグラフィックスワークステーション : SGI
 - 2Dグラフィックスハードウェアのみ
 - 1990s - 最初のPC用GPU(3dfx, Matrox, NVIDIA, ATI)
 - Triangle rasterizationのみ
 - 1999 - ハードウェアT&L対応ビデオカード
 - Fixed Function Pipeline(FFP)
 - 2000s - プログラマブルGPU (NVIDIA, ATI)
 - Vertex Shader と Fragment Shader



GPU Language

- For graphics
 - Assembly
 - NVIDIA Cg (C for Graphics)
 - HLSL(DirectX High Level Shading Language)
 - GLSL(OpenGL Shading Language)

Example: Phong shader

- Phong illumination model $I_s = k_s(\mathbf{R} \cdot \mathbf{V})^m I_s$



Gouraud Shading



Phong Shading

Example: Fresnel shader

- Fresnel reflection and refraction



Reflection

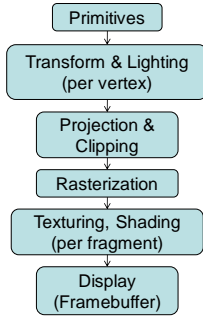


Phong Shading

Programmable Shader

GPUの歴史

- 1980s - 最初の3Dグラフィックスワークステーション：SGI
 - 2Dグラフィックスハードウェアのみ
- 1990s - 最初のPC用GPU(3dfx, Matrox, NVIDIA, ATI)
 - Triangle rasterizationのみ
 - 1999 - ハードウェアT&L対応ビデオカード
 - Fixed Function Pipeline(FFP)
- 2000s - プログラマブルGPU (NVIDIA, ATI)
 - Vertex Shader と Fragment Shader
 - General Purpose GPU (GPGPU)



GPGPU

シェーダー言語を用いたGPGPUの例

- リアルタイムビデオ安定化
ビデオ映像のみを入力として、ぶれを除去した動画を生成



使用動画 [pixel]	CPU [sec/frame]	GPU [sec/frame]
200 × 200	1.32	0.012
500 × 500	8.89	0.038
700 × 700	17.1	0.081
1000 × 1000	36.6	0.141

CPU : Core2Duo 3.00GHz, GPU : GeForce8800GTX

GPU Language

For graphics

- Assembly
- NVIDIA Cg (C for Graphics)
- HLSL(DirectX High Level Shading Language)
- GLSL(OpenGL Shading Language)

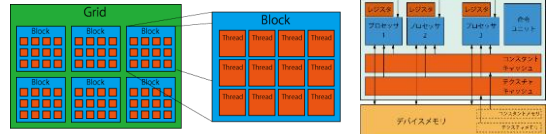
For general purpose

- BrookGPU
- CUDA (C for CUDA)
- OpenCL

CUDA

CUDA(Compute Unified Device Architecture)の特徴

- 統合シェーダ
- 数千~数万のスレッドの同時実行
- スレッド、ブロック、グリッド、カーネル
- 高速なシェアードメモリの利用
- 基本的には単精度(倍精度もあり)

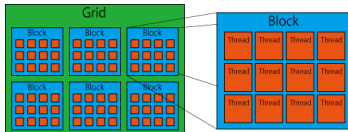


GPGPU

多数の並列スレッドによるメモレイテンシの隠蔽

演算の実行単位：数サイクル
グローバルメモリ転送：数百サイクル

あるスレッドグループ(warp)がデータ転送している間に、他のwarpが実行される。



max threads / block : 1024
max size of each dim. of block : (1024, 1024, 64)
max size of each dim. of grid : (65535, 65535, 65535)

粒子法とウェーブレット解析によるリアルタイム乱流シミュレーション

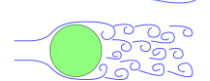
乱流とは？

挙動の予測が困難な非常に乱れた流れ
⇔層流



乱流はなぜ解析が難しい？

- 支配方程式を完璧に解けば再現できる
 - 膨大な量の計算時間が必要
- 平均流と細かな渦に流れを分割
- 渦エネルギーに基づく方法



関連研究

High order advection schemes

BFEC [Kim et al. 2005], MacCormack [Selle et al. 2008], CIP [Kim et al. 2008], adaptive grid [Losasso et al. 2004]

Vortex particle method

- Vortex particle method [Selle et al. 2005]
- 壁面乱流境界層 [Pfaff et a. 2009]
- WCSPHと固体周りのグリッド [Zhu et al. 2010]



[Selle et al. 2005]



[Pfaff et a. 2009]



[Zhu et al. 2010]

関連研究

Procedural turbulence synthesis

- Energy transport model [Pfaff et al. 2010]
- Random Forcing [Zhao et al. 2010]
- 疎/密グリッドの組み合わせ [Chang et al. 2010]
- ウェーブレット解析 [Kim et al. 2008]



[Pfaff et al. 2010]

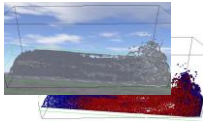


[Kim et al. 2008]

粒子法とウェーブレット解析によるリアルタイム乱流シミュレーション

粒子法を用いたリアルタイム流体シミュレーションに乱流を付加することでよりリアリティの高い映像を生成する手法

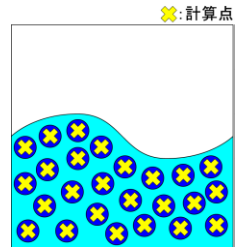
- ウェーブレット解析による乱流生成域の特定
- 複数の周波数を含むノイズ関数による乱流渦の生成
- サーパーティクル分割による非常に細かな渦の考慮
- GPUを用いた超並列計算



シミュレーション空間の離散化

離散化手法

- オイラー的手法
空間を格子状に離散化
→ 一般に高計算コストだが、滑らかな表面が得られる
- ラグランジュ的手法(粒子法)
粒子で流体を離散化
→ 一般に低計算コストだが、液体表面が凸凹

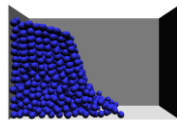


✳: 計算点

粒子法

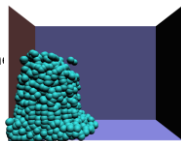
Moving Particle Semi-implicit (MPS)

- 粒子数密度の導入により非圧縮性を厳密に表現できる
- 圧力のポアソン方程式を解く必要があり、計算コストが高い
- 計算例：計算点6,000 - 0.94 sec/frame



Smoothed Particle Hydrodynamics (SPH)

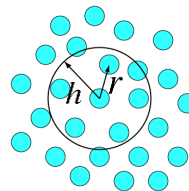
- 単純な関数の重ね合わせで計算できるため、計算コストが低い
- 非圧縮性を厳密に定めているわけではない
- 計算速度：計算点6,000 - 0.056 sec/frame



SPHの理論

SPHの離散式

$$A(\mathbf{r}) = \sum_j m_j \frac{A_j}{\rho_j} W(\mathbf{r} - \mathbf{r}_j, h)$$



h : 有効半径

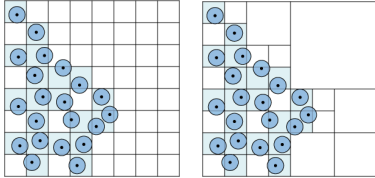
W : カーネル関数

$\begin{cases} 0 \leq r \leq h \text{ のときのみ値を持つ} \\ r \text{ が大きくなるにつれて } W \text{ は小さくなる} \end{cases}$

近傍探索の高速化

空間分割法による近傍探索の高速化

1. 物体の登録
 - i. 空間を分割
 - ii. 各物体が所属する分割領域を計算
2. 近傍探索
 - i. 探索中心座標が所属する領域を計算
 - ii. 自身と隣接する領域の物体をリストアップ
 - iii. リストアップされた物体との距離を算出



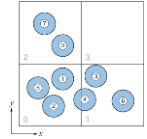
等間隔格子と四分木

近傍探索の高速化

空間分割法のGPU実装

1. 全パーティクルのハッシュ値を計算
hash = i+j*n_x

ハッシュ値	2	0	0	1	1	0	1	2
粒子番号	0	1	2	3	4	5	6	7



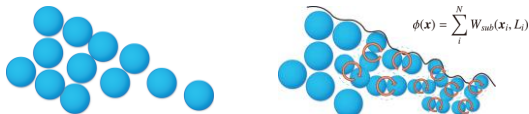
2. ハッシュ値をキーとしてソート
radix sort を使用[Satish et al. IPDPS' 09]

ハッシュ値	0	0	0	1	1	1	2	2
粒子番号	1	2	5	3	4	6	0	7

3. ハッシュ値が連続する領域の始点, 終点を格納

サブパーティクルスケール乱流

粒子法による平均流の計算
+サブパーティクル分割による乱流渦



各パーティクルの乱流エネルギー e を算出
サブパーティクルを使って表面を抽出

乱流エネルギーに基づき分割

$$e_{crit} = \hat{e} \left(\frac{1}{2r_L}, x \right) 2^{-\frac{3}{5}l_L}$$

Simulation of Turbulent Flow

1. SPH法でベースとなる速度場を計算

$$\nabla \cdot \mathbf{u} = 0,$$

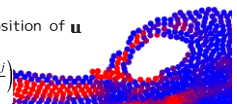
$$\frac{\partial \mathbf{u}}{\partial t} + (\mathbf{u} \cdot \nabla) \mathbf{u} = \nu \nabla^2 \mathbf{u} - \frac{1}{\rho} \nabla p + \mathbf{f}$$



2. ウェーブレット解析により乱流エネルギーを算出

$$\hat{e}(k) = \frac{1}{2} |\hat{\mathbf{u}}(k)|^2 \quad \hat{\mathbf{u}}: \text{wavelet decomposition of } \mathbf{u}$$

$$\hat{u}_i = \frac{1}{\sqrt{s} \psi_{sum}} \sum_j u_j \psi \left(\frac{x_i - x_j}{s}, \frac{y_i - y_j}{s}, \frac{z_i - z_j}{s} \right)$$



Simulation of Turbulent Flow

3. 多解像度の非圧縮渦場(乱流速度場)を生成

$$\mathbf{w}(\mathbf{x}) = \left(\frac{\partial w_3}{\partial y} - \frac{\partial w_2}{\partial z}, \frac{\partial w_1}{\partial z} - \frac{\partial w_3}{\partial x}, \frac{\partial w_2}{\partial x} - \frac{\partial w_1}{\partial y} \right)$$

$$\mathbf{y}(\mathbf{x}) = \sum_{i=l_{min}}^{l_{max}} \mathbf{w}(2^i \mathbf{x}) 2^{-\frac{3}{5}(i-l_{min})}$$



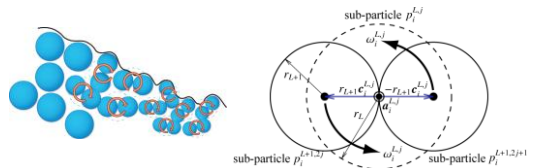
4. 乱流の影響を外力として追加し, 粒子の速度・位置を更新

$$\mathbf{f}_i^{turb} = A \frac{P_i}{\Delta t} \hat{e}_i(k) \mathbf{y}(\mathbf{x}_i)$$

Sub-Particle-Scale Turbulence

5. サブパーティクルの速度場と位置を更新

GPUでの並列計算のために, 全てのサブパーティクルは最大レベルまで分割され, その全ての速度と位置が更新される



Sub-Particle-Scale Turbulence

6. 乱流エネルギーに基づき液体の表面を抽出

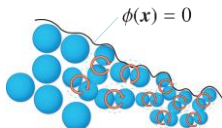
流体の表面を表すレベルセット関数：

$$\phi(\mathbf{x}) = \sum_i^N W_{sub}(\mathbf{x}_i, L_i)$$

W_{sub} ：カーネル関数

乱流エネルギーに基づくサブパーティクルレベル：

$$e_{cri} = \hat{e} \left(\frac{1}{2r_L}, \mathbf{x} \right) (2^{-\frac{5}{3}})^{L_i}$$



結果

パーティクル数：20,000 - 40,000

処理時間：6-10 fps on Intel Core i7 2.93GHz
and GeForce GTX580 (SP数512)

レンダリング：Marching cubes method
(about 80,000 triangles), GLSL

結果

粒子法におけるサブパーティクルスケールの乱流
を考慮した液体表面生成手法



まとめ

- 物理モデルとGPUを用いたリアルタイムCGアプリケーション
 - 物理シミュレーション
 - 数値計算をGPUを用いて並列化
 - 乱流シミュレーションをリアルタイムに近い速度で実現
- 今後の発展
 - シミュレーションの高速化，高精度化
 - AR(拡張現実感)インタフェースの利用
 - デザインや解析への応用

